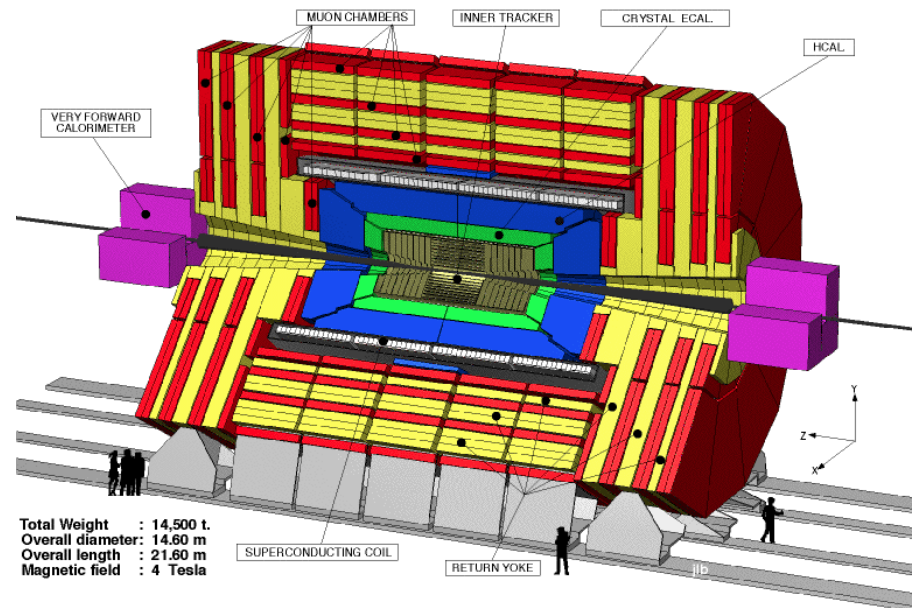
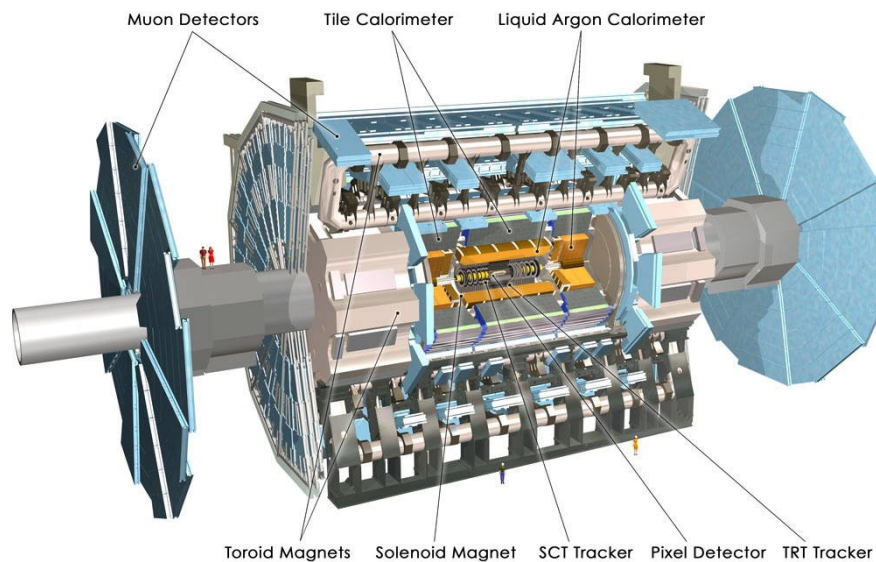


Αλληλεπιδράσεις σωματιδίων με την ύλη και Ανιχνευτές σωματιδίων



Καλορίμετρο

- ❑ Καλορίμετρο στην πυρηνική και σωματιδιακή φυσική, είναι η διάταξη που χρησιμοποιείται για την ανίχνευση σωματιδίων και την μέτρηση των ιδιοτήτων τους μέσω ολικής απορρόφησής τους μέσα σε κάποιο κομμάτι ύλης που αποτελεί την διάταξη.
- ❑ Τα περισσότερα καλορίμετρα είναι ευαίσθητα για θέση μετρώντας την ενέργεια ανάλογα της θέσης τους.

➤ Αρχές λειτουργίας:

- ✧ Το προσπίπτον σωματίδιο ξεκινά μια καταιγίδα σωματιδίων
 - ✓ Η σύσταση και το μέγεθος της καταιγίδας εξαρτάται από το είδος του σωματιδίου και το υλικό του ανιχνευτή
- ✧ Η ενέργεια εναποτίθεται σε μορφή: θερμότητας, ιονισμού, διέγερσης ατόμων, ακτινοβολία Cherenkov
 - ✓ Διαφορετικά είδη καλοριμέτρων χρησιμοποιούν διαφορετικά είδη από τα παραπάνω σήματα για μέτρηση της ολικής ενέργειας
- ✧ Η διαδικασία είναι καταστρεπτική. Δεν υπάρχει τρόπος ελέγχου των σωματιδίων την στιγμή που εναπόθεσαν την ενέργειά τους.
- ✧ Σημαντικό:
 - Το σήμα είναι ανάλογο της ολικής ενέργειας που εναποτέθηκε
 - Σταθερά αναλογίας καθορίζεται από βαθμονόμηση



Καλορίμετρο σε σωματιδιακή φυσική

- Η τεχνική των καλοριμέτρων είναι διαδεδομένη στη φυσική υψηλών ενεργειών
 - Στόχοι σε πειράματα νετρίνο ή πειράματα για αναζήτηση διάσπασης πρωτονίων ή μελέτης κοσμικής ακτινοβολίας
 - Μετρητές καταιγίδων
 - Ανιχνευτές στερεάς γωνίας 4π σε πειράματα επιταχυντών
- Η τεχνική των καλοριμέτρων χρησιμοποιεί διάφορους μηχανισμούς ανίχνευσης
 - Σπινθηριστές
 - Ιονισμός
 - Ακτινοβολία Cherenkov
 - Κρυογενή φαινόμενα

Μετατροπή της ενέργειας E των προσπίπτοντων σωματιδίων σε απόκριση του ανιχνευτή

$$S \propto E$$



Γιατί χρήση της τεχνικής καλοριμέτρου

- ❑ Μέτρηση φορτισμένων και ουδέτερων σωματιδίων
- ❑ Η απόδοση των καλοριμέτρων βελτιώνεται με την ενέργεια
 - Είναι σταθερή ως προς 4π
 - Σε αντίθεση με ανιχνευτή τροχιών που παρουσιάζουν ανισοτροπία λόγω B-πεδίου
 - Καλορίμετρο: διακριτική ικανότητα: $\frac{\sigma_E}{E} \sim \frac{1}{\sqrt{E}}$ **ATLAS** $\frac{\sigma_E}{E} \approx \frac{0.1}{\sqrt{E}}$
 - Ανιχνευτές αερίων: $\frac{\sigma_p}{p} \sim p$ **ATLAS** $\frac{\sigma_p}{p} \approx 5 \times 10^{-4} p_T$ για $p=100 \text{ GeV}$ $\frac{\sigma_p}{p} \approx 5\%$
- ❑ Γρήγορη πρόσβαση σε πληροφορία ενέργειας ($<100\text{ns}$ δυνατή)
 - Χρήση σε σκανδαλιστή για επιλογή γεγονότων κατά τη διάρκεια λήψης τους
- ❑ Βάθος ανάπτυξης καταιγίδας: $L \sim \ln \frac{E}{E_C}$ E_C : κριτική ενέργεια
 - Τα βάθος ανεξάρτητο σχεδόν της ενέργειας και επομένως μπορεί τα καλορίμετρα να είναι συμπαγή
 - σε αντίθεση με τους ανιχνευτές τροχιών που το μέγεθός τους αυξάνει με το τέτρωγωνο της διάστασής τους για διατήρηση της διακριτικής ικανότητας $\sigma_p/p \approx p/L^2$

Ηλεκτρομαγνητικές καταιγίδες

□ Κύριες διεργασίες σε υψηλές ενέργειες ($E > \text{μερικά MeV}$)

Φωτόνια: Δίδυμη γέννηση

$$\sigma_{\delta.\gamma.} \approx \frac{7}{9} \left(4\alpha r_e^2 Z^2 \ln \frac{183}{Z^{1/3}} \right)$$

$$\Rightarrow \sigma_{\delta.\gamma.} \approx \frac{7}{9} \frac{A}{N_A X_0} \quad \begin{array}{l} [X_0 \text{ μήκος ακτινοβολίας}] \\ [\text{σε cm ή gr/cm}^2] \end{array}$$

Παράγοντας απορρόφησης:

$$\mu = n\sigma = \rho \frac{N_A}{A} \sigma_{\delta.\gamma.} = \frac{7}{9} \frac{\rho}{X_0}$$

$$X_0 = \frac{A}{4\alpha N_A Z^2 r_e^2 \ln \frac{183}{Z^{1/3}}}$$

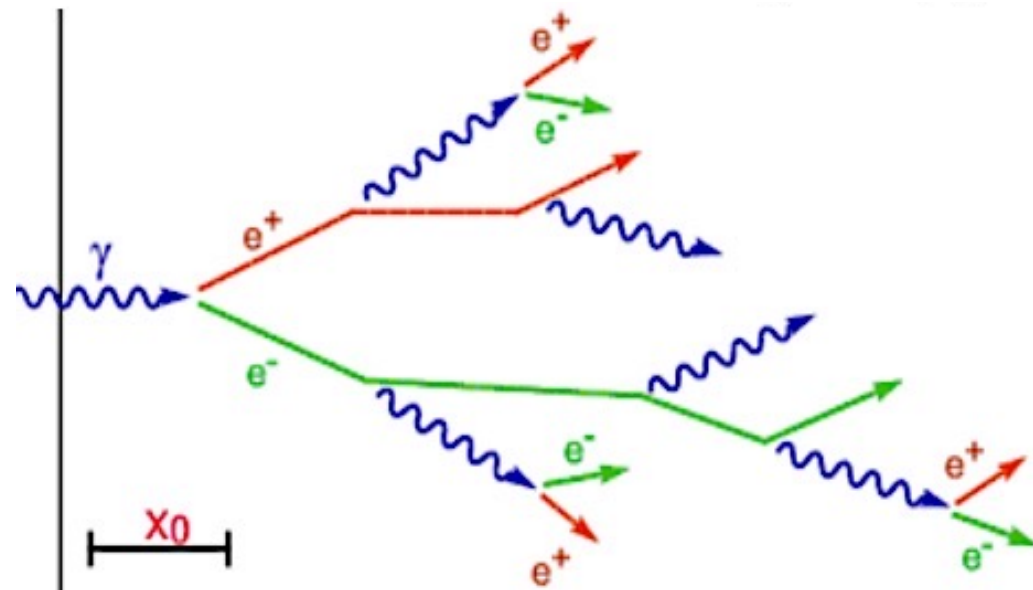
$[X_0 \text{ μήκος ακτινοβολίας σε g/cm}^2]$

Ηλεκτρόνια: Bremsstrahlung

$$\frac{dE}{dx} = 4\alpha N_A \frac{Z^2}{A} r_e^2 E \ln \frac{183}{Z^{1/3}} = \frac{E}{X_0}$$

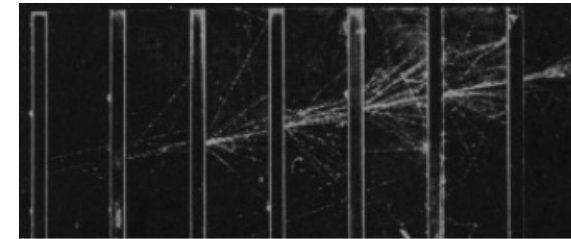
$$\Rightarrow E = E_0 e^{-x/X_0}$$

Μετά από ένα μήκος ακτινοβολίας το ηλεκτρόνιο έχει μόνο το 37% της ενέργειάς του



Μοντέλο καταιγίδας

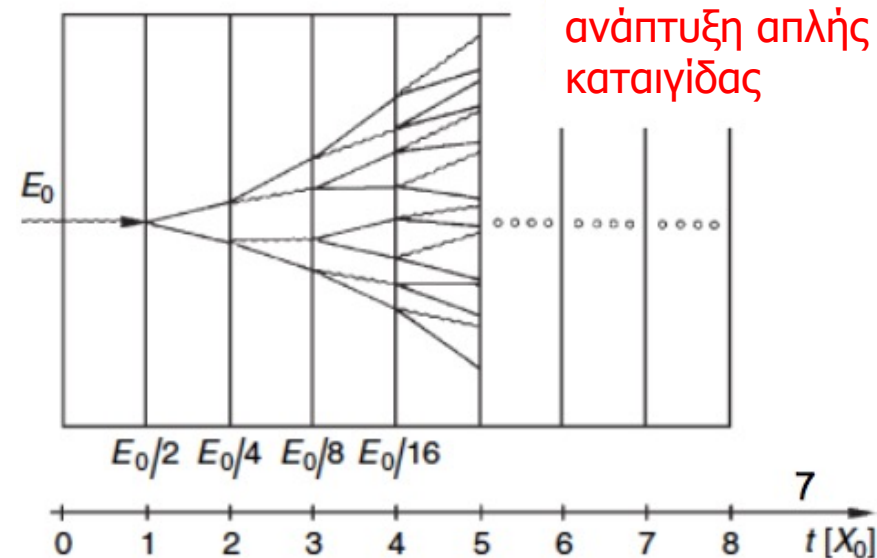
- ❑ Το απλό μοντέλο ανάπτυξης καταιγίδας οφείλεται στον Heitler και στηρίζεται στο μήκος ακτινοβολίας X_0 .
- ❑ Το e^- χάνει $[1-1/e] = 63\%$ της ενέργειας σε $1/X_0$ (Brem)
- ❑ Η μέση ελεύθερη διαδρομή ενός φωτονίου (δίδυμη γέννεση) είναι $9/7 X_0$
- ❑ Υποθέτουμε ότι:
 - $E > E_C$: **δεν** υπάρχει απώλεια ενέργειας από ιονισμό/διέγερση
 - $E < E_C$: απώλεια ενέργειας μόνο μέσω ιονισμού/διέγερσης



❑ Απλό μοντέλο καταιγίδας:

- ✓ 2^t σωματίδια μετά από $t [X_0]$
- ✓ Το κάθε σωματίδιο έχει $E/2^t$ ενέργεια
- ✓ Το σωματίδιο σταματά αν $E < E_C$
- ✓ Ο αριθμός των σωματιδίων $N = E/E_C$
- ✓ Μέγιστο καταιγίδας σε βάθος

$$t_{\max} \propto \ln(E_0/E_C)$$



Εγκάρσια ανάπτυξη της καταιγίδας

□ Γωνία ανοίγματος της καταιγίδας οφείλεται:

- Bremsstrahlung και δίδυμη γέννηση:

$$\langle \theta^2 \rangle \approx (m/E)^2 = 1/\gamma^2$$

✧ μικρή συνεισφορά εφόσον $m_e/E_C = 0.05$

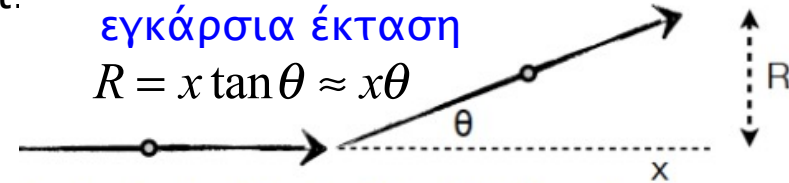
- πολλαπλή σκέδαση Coulomb [Θεωρία Molliere]:

$$\langle \theta \rangle = \frac{21.2 \text{ MeV}}{E_e} \sqrt{\frac{x}{X_0}} \quad \text{Θεωρώντας ότι } \beta=1, c=1 \text{ και } z=1$$

$$E_S = \sqrt{\frac{4\pi}{\alpha}} (m_e c^2) = 21.2 \text{ MeV} \quad \text{ενέργεια κλίμακας}$$

εγκάρσια έκταση

$$R = x \tan \theta \approx x \theta$$



□ Εγκάρσια κατανομή

- Κύρια κατανομή από συνεισφορά ηλεκτρονίων χαμηλής ενέργειας καθώς $\langle \theta \rangle \sim 1/E_e$. ηλεκτρόνια με $E=E_C$
- Υποθέτοντας ότι η κατάλληλη εμβέλεια των ηλεκτρονίων είναι X_0 παίρνουμε ότι $\langle \theta \rangle = 21 \text{ MeV}/E_e$ και η εγκάρσια ανάπτυξη της καταιγίδας θα είναι $R = \langle \theta \rangle X_0$.

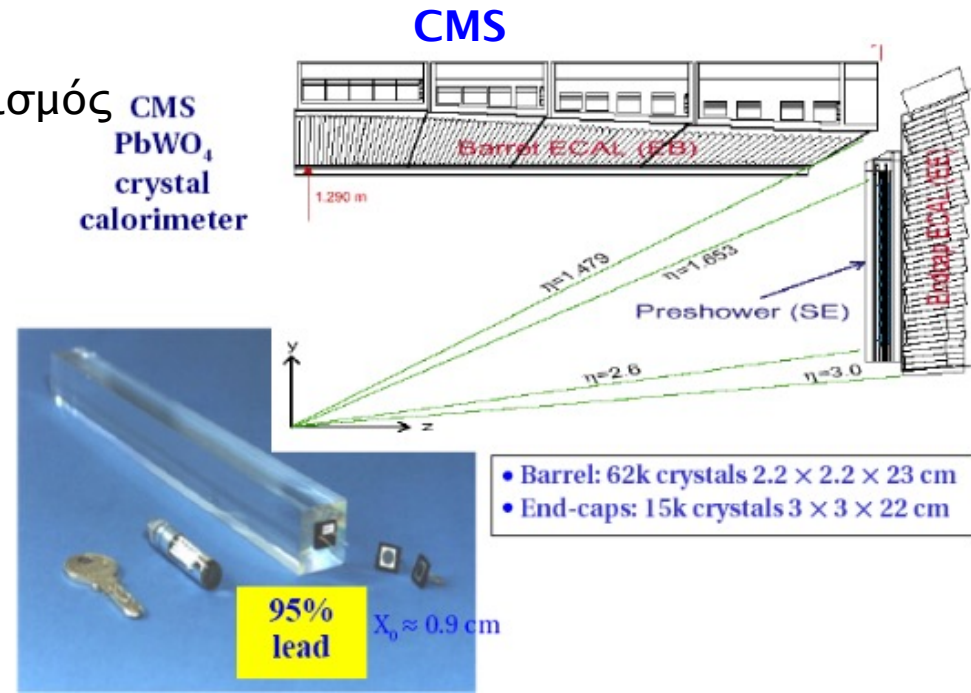
- Η **ακτίνα Mollier** δίνεται από: $R_M = \frac{E_S}{E_C} X_0 \approx \frac{21.2 \text{ MeV}}{E_e} X_0$

Μερικές χρήσιμες σχέσεις

- ❑ Μήκος ακτινοβολίας: $X_0 = \alpha \frac{180 A}{Z^2} \frac{g}{cm^2}$
- ❑ Κριτική Ενέργεια:
(αλα Rossi) $E_c = \frac{550 MeV}{Z}$
- ❑ Βάθος μέγιστου
καταιγίδας $t_{\max} = \ln \frac{E}{E_c} - \begin{cases} 1.0 & \text{ηλεκτρόνια} \\ 0.5 & \text{φωτόνια} \end{cases}$
- ❑ Διαμήκης περιορισμός της καταιγίδας $L[95\%] = t_{\max} + 0.08Z + 9.6[X_0]$
- ❑ Εγκάρσιος περιορισμός της καταιγίδας $R[90\%] = R_M$
 $R[95\%] = 2R_M$

Ομογενή καλορίμετρα

- Ένα μόνο κομμάτι υλικού παίζει το ρόλο τόσο του απορροφητή όσο και του ενεργού υλικού.
 - Κρύσταλλοι με ιδιότητες σπινθηριστή συνήθως πολύ μεγάλο Z
- **Πλεονεκτήματα**
 - Βλέπουν **όλα** τα σωματίδια μέσα στην καταιγίδα ➡ καλύτερη στατιστική ακρίβεια
 - Ίδια απόκριση από όλες τις θέσεις ➡ καλή γραμμικότητα
- **Μειονεκτήματα**
 - Μεγάλο κόστος των κρυστάλλων
 - Δύσκολος ο λεπτομερής καταμερισμός
- **Παραδείγματα**
 - Πειράματα σε επιταχυντές παραγωγής Β-μεσονίων όπου E_γ μικρή
 - CMS ηλεκτρομαγνητικό καλορίμετρο το οποίο έχει βελτιστοποιηθεί για την ανίχνευση του $H^0 \rightarrow \gamma\gamma$



Ομογενή καλορίμετρα - CMS

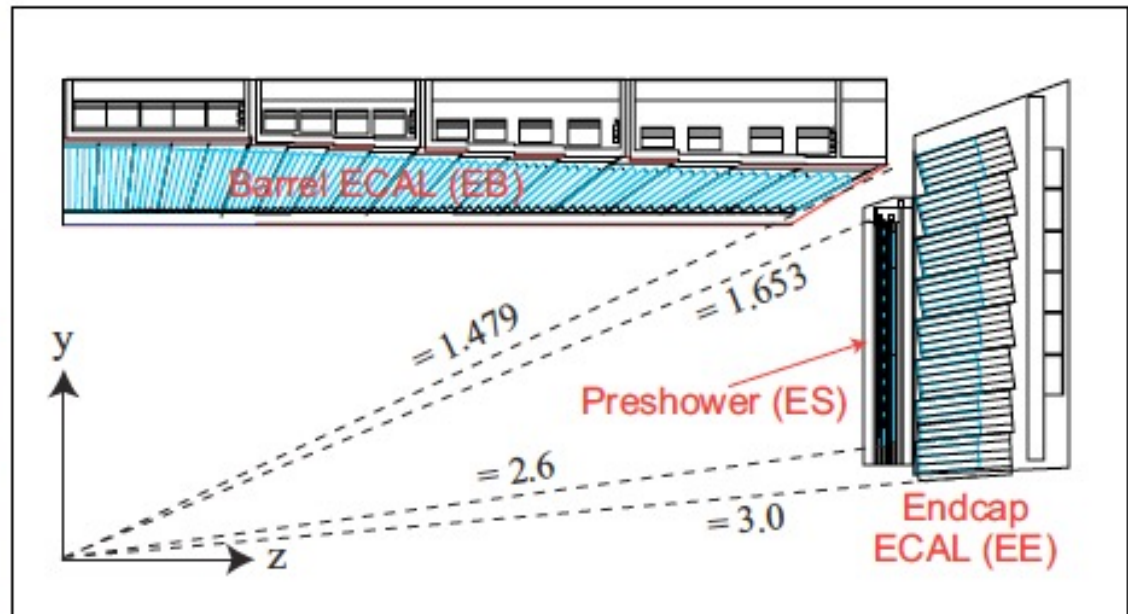


Σπινθηριστής: PbWO_4 [lead Tungstate]

Φωτο-Ανιχνευτής: APDs [Φωτοδίοδοι καταιγίδας]

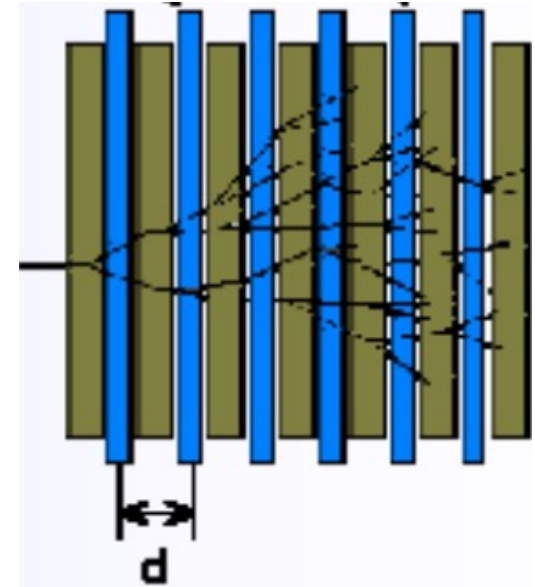
Αριθμός κρυστάλλων: ~ 70000

Αριθμός φωτονίων: ~ 4.5 φωτόνια/MeV



Καλορίμετρο δειγματοληψίας

- ❑ Χρήση διαφορετικών υλικών μέσων
 - Απορροφητής μεγάλης πυκνότητας
 - Εναλλάσσεται με ενεργά υλικά για οπτική ανάγνωση
 - Η πλέον συνηθισμένη γεωμετρία αυτή του sandwich
 - Αρκετές φορές χρησιμοποιούνται οπτικές ίνες
- ❑ Λόγος δειγματοληψίας $f_{\text{sampling}} = E_{\text{visible}} / E_{\text{deposited}}$



❑ Πλεονεκτήματα

- Χαμηλό κόστος, εγκάρσιος και διαμήκης καταμερισμός

❑ Μειονεκτήματα

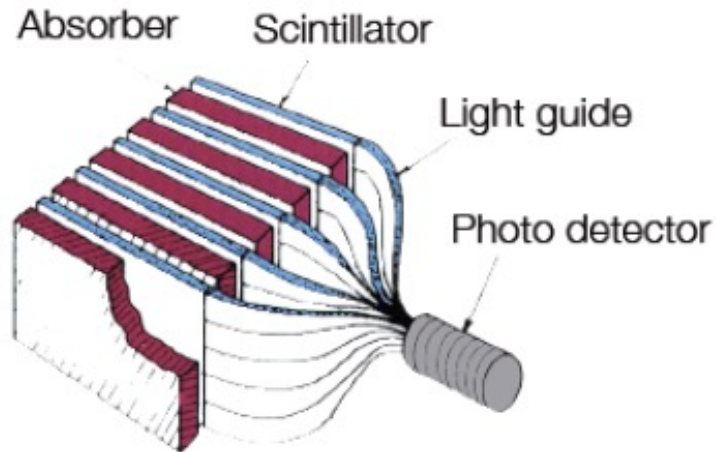
- Μέτρηση μέρους μόνο της ενέργειας της καταιγίδας - χαμηλότερη ακρίβεια

❑ Παραδείγματα:

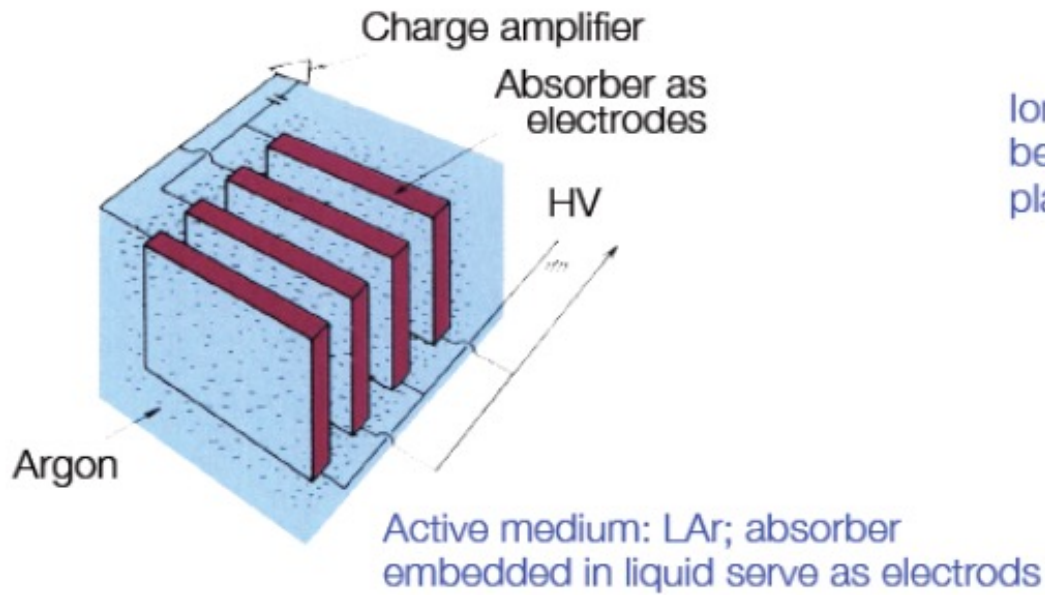
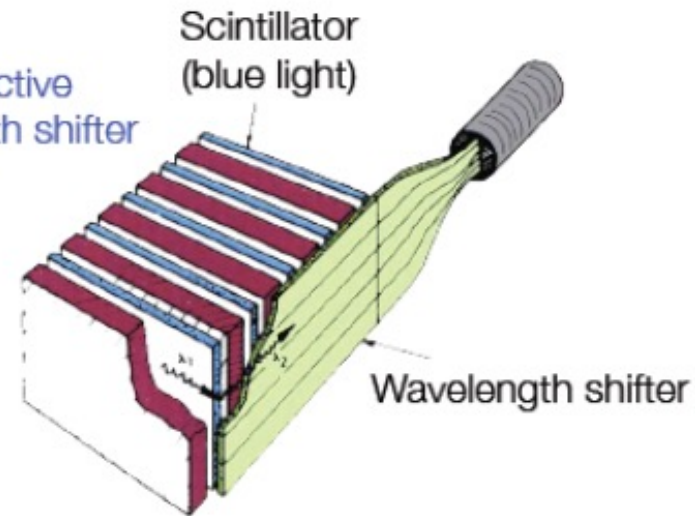
- CDF και ATLAS καλορίμετρο
- Όλα τα αδρονικά καλορίμετρα

Καλορίμετρα δειγματοληψίας – διάφοροι τύποι

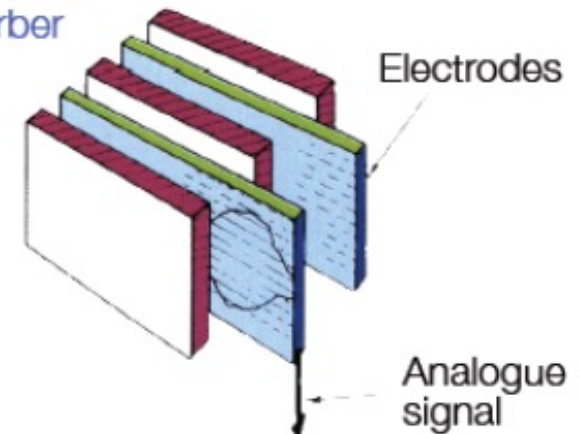
Scintillators as active layer;
signal readout via photo multipliers



Scintillators as active layer; wave length shifter to convert light



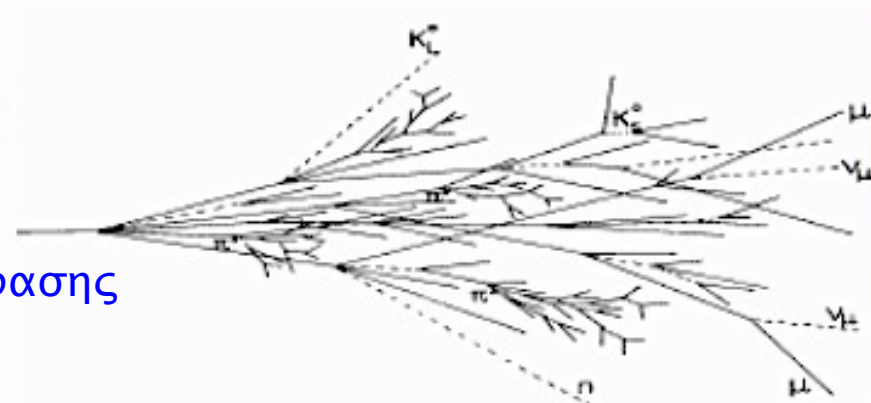
Ionization chambers
between absorber plates



Αδρονικά καλορίμετρα

Αδρονικά καλορίμετρα – Αδρονικές καταιγίδες

- ❑ Επιπλέον δυσκολία λόγω των **ισχυρών αλληλεπιδράσεων** με το υλικό ανιχνευτή
- ❑ Πολύ σημαντική η μέτρηση της ενέργειας του σωματιδίου με καλορίμετρο:
 - Φορτισμένα αδρόνια – συμπληρωματική μέτρηση της ενέργειάς τους.
 - Ουδέτερα αδρόνια – μοναδικός τρόπος μέτρησης της ενέργειάς τους.
- ❑ Στις πυρηνικές σκεδάσεις δημιουργείται ένας αριθμός δευτερογενών σωματιδίων
 - Εν μέρει υπάρχουν δευτερεύουσες ή τριτογενείς πυρηνικές αντιδράσεις με αποτέλεσμα την δημιουργία αδρονικής καταιγίδας
 - Σωματίδια που διασπώνται ηλεκτρομαγνητικά (π^0 , η^0) προκαλούν ηλεκτρομαγνητικές καταιγίδες
 - Μέρος της ενέργειας απορροφάται σαν πυρηνική ενέργεια συνοχής ή για ανάκρουση των πυρήνων του υλικού μέσου (**μή μετρήσιμη ενέργεια**)
- ❑ Η καταιγίδα παρόμοια της EM αλλά πολύ πιο περίπλοκη
 - Χρειαζόμαστε Monte Carlo εργαλεία
- ❑ Διαφορετική κλίμακα και εμβέλεια **χρήση του μήκους πυρηνικής αλληλεπίδρασης**



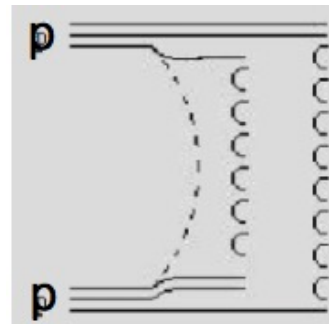
Αδρονικές αλληλεπιδράσεις

1^ο στάδιο: Κύρια σκέδαση

- ✧ Πριν την πρώτη αλληλεπίδραση: τα π's κινούνται 25–50% πιο μακριά από τα p (1/3 του μεγέθους)
- ✧ Ένα π^+ χάνει 100–300 MeV λόγω ιονισμού (ανάλογα με το Z του υλικού)

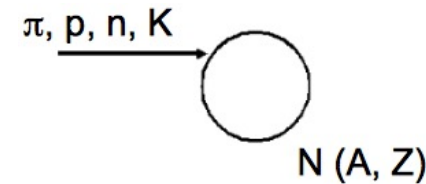
Πολλαπλασιασμός σωματιδίων

- ✧ Μέση ενέργεια για παραγωγή ενός πιονίου 0.7 (1.3) GeV σε χαλκό (Pb)



$q\bar{q}$ ζεύγη

Τα νουκλεόνια χωρίζονται σε δι-quarks και δημιουργούνται strings
Αδروνοποίηση τους προσθέτοντας ζεύγη $q\bar{q}$
Θρυμματισμός του υπόλοιπου πυρήνα



σκέδαση σωματιδίου-πυρήνα σύμφωνα με ενεργό διατομή

- Πολλαπλότητα των σωματιδίων αυξάνει με την ενέργεια και τύπο σωματιδίων

- 1/3 π^0 διασπώνται σε γγ που παράγονται σε διεργασίες: $\pi^- p \rightarrow \pi^0 n / \pi^+ n \rightarrow \pi^0 p$

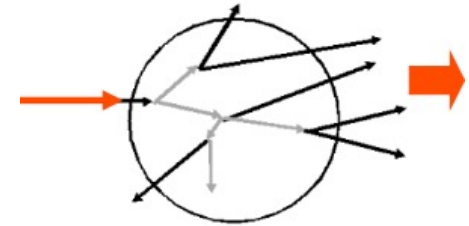
- Επίδραση του 1^{ου} σωματιδίου που ξεκινά την καταιγίδα:

- ✧ Λιγότερα π^0 από p λόγω διατήρησης του βαρυονικού αριθμού

Αδρονικές καταιγίδες

□ Ενδοπυρηνικές καταιγίδες

- ✧ Γρήγορα κινούμενα αδρόνια που διαπερνούν τον πυρήνα ελευθερώνουν πρωτόνια και νετρόνια ανάλογα με τον αριθμό τους μέσα στον πυρήνα.
- ✧ Μερικά από αυτά τα n και p μπορούν να διαφύγουν από τον πυρήνα.
- ✧ Για τον $^{208}\text{Pb}_{82}$ ~1.5 φορά περισσότερα n απο p



□ Τα εμπλεκόμενα νουκλεόνια στην καταιγίδα μεταφέρουν ενέργεια στον πυρήνα που μεταβαίνει σε διεγερμένη κατάσταση

□ Πυρηνική αποδιέγερση

- ✧ Εξάτμιση νουκλεονίων με ενέργεια $\sim 10\text{MeV}$ και α -σωματιδίων
- ✧ +σχάση για κάποιους πυρήνες υλικών
- ✧ Ο αριθμός των νουκλεονίων που ελευθερώνονται εξαρτάται από την ενέργεια συνοχής (7.9 MeV σε Pb, 8.8 MeV στο Fe)
- ✧ Κυρίως νετρόνια ελευθερώνονται κατά την εξαέρωση ενώ τα πρωτόνια εγκλωβίζονται από το φράγμα Coulomb (12 MeV για Pb και μόνο 5MeV στο Fe)

Αδρονικές καταιγίδες

□ Αδρονικές αλληλεπιδράσεις

➤ **ελαστική** $p + \text{Nucleus} \rightarrow p + \text{Nucleus}$

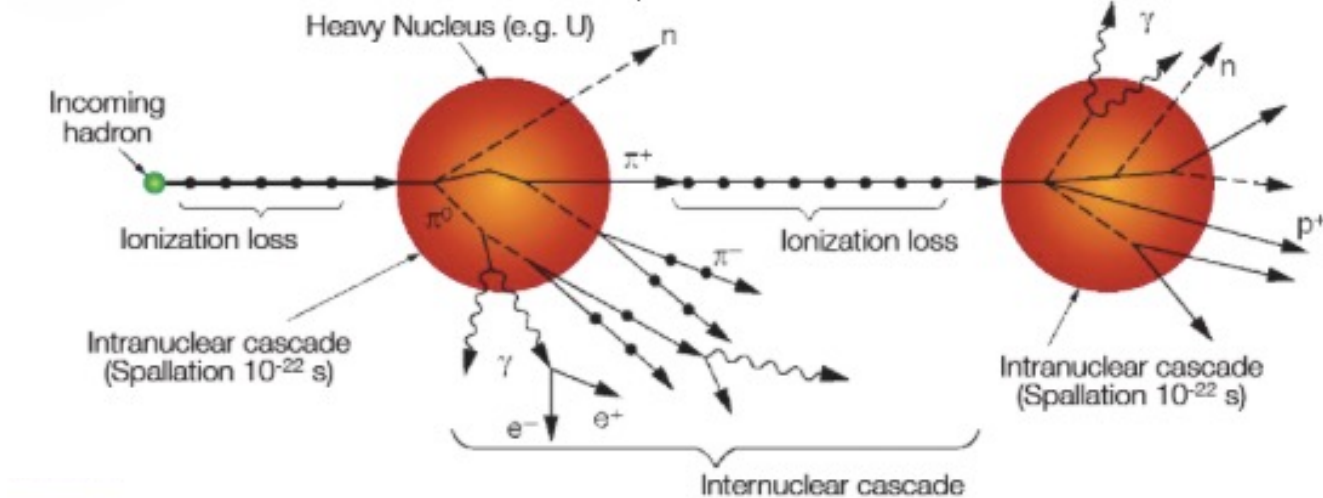
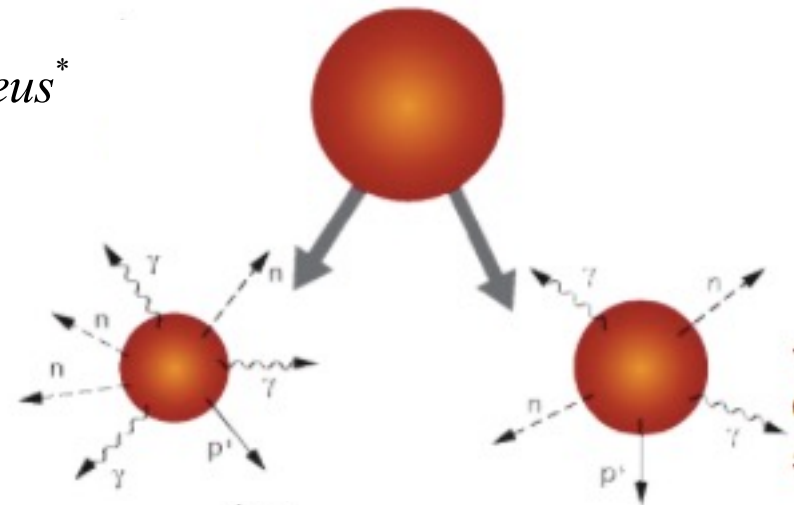
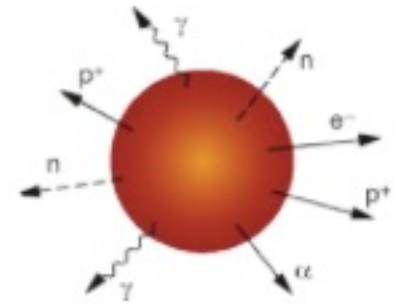
➤ **ανελαστική**

$$p + \text{Nucleus} \rightarrow \pi^+ + \pi^- + \pi^0 + \dots + \text{Nucleus}^*$$

$$\text{Nucleus}^* \rightarrow \text{Nucleus}A + n, p, \alpha, \dots$$

$$\rightarrow \text{Nucleus}B + 5p, n, \pi, \dots$$

$$\rightarrow \Sigma \chi \alpha \sigma \eta$$



Σύγκριση EM - αδρονικής καταίγιδας

- Αδρονικό vs ηλεκτρομαγνητικό μήκος αλληλεπίδρασης

$$\left. \begin{array}{l} X_0 \sim \frac{A}{Z^2} \\ \lambda_{N.I.} \sim A^{1/3} \end{array} \right\} \Rightarrow \frac{\lambda_{N.I.}}{X_0} \sim A^{4/3} \Rightarrow \lambda_{N.I.} \gg X_0$$

- Τυπικές διαστάσεις μιας αδρονικής καταίγιδας:

✧ Διαμήκης έκταση [95% περιεκτικότητα]:

6–9 $\lambda_{N.I.}$ ενώ για EM 15–20 X_0

✧ Εγκάρσια έκταση [95% περιεκτικότητα]:

1 $\lambda_{N.I.}$ ενώ για EM $2R_M$

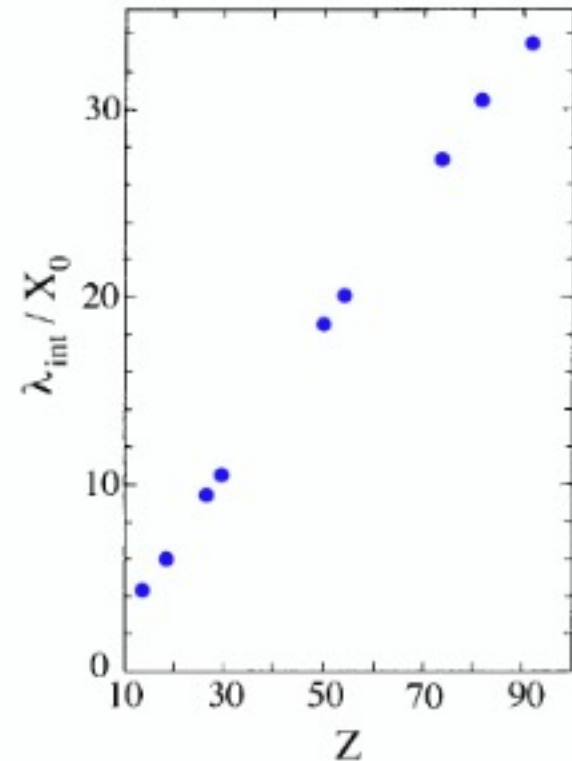
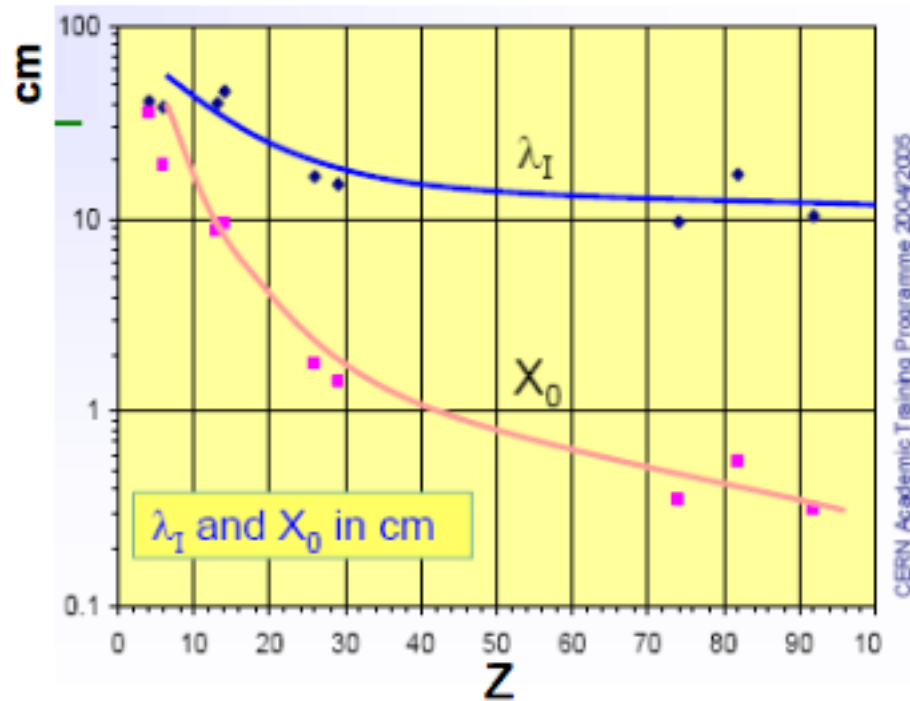
- Αδρονικό καλορίμετρο πολύ μεγαλύτερο του ηλεκτρομαγνητικού

	$\lambda_{N.I.}(\text{cm})$	$X_0(\text{cm})$
Σπινθηριστής	79.4	42.2
LAr	83.7	14.0
Fe	16.8	1.76
Pb	17.1	0.56
U	10.5	0.32
C	38.1	18.8

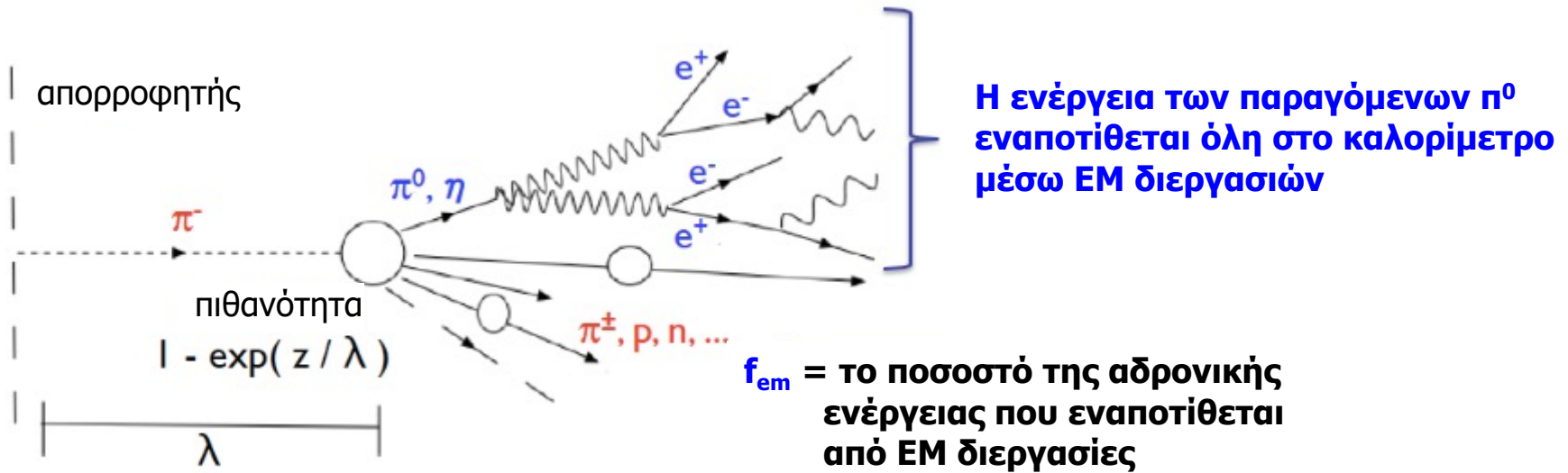
Αδρονική και EM καταιγίδα – Εξάρτηση από το υλικό

$\lambda_{N.I.}(gr \cdot cm^{-2}) \sim A^{1/3}$ μέση ελεύθερη διαδρομή ανάμεσα σε δυο συγκρούσεις

Οι αδρονικές καταιγίδες είναι πολύ πιο μεγάλες από τις EM



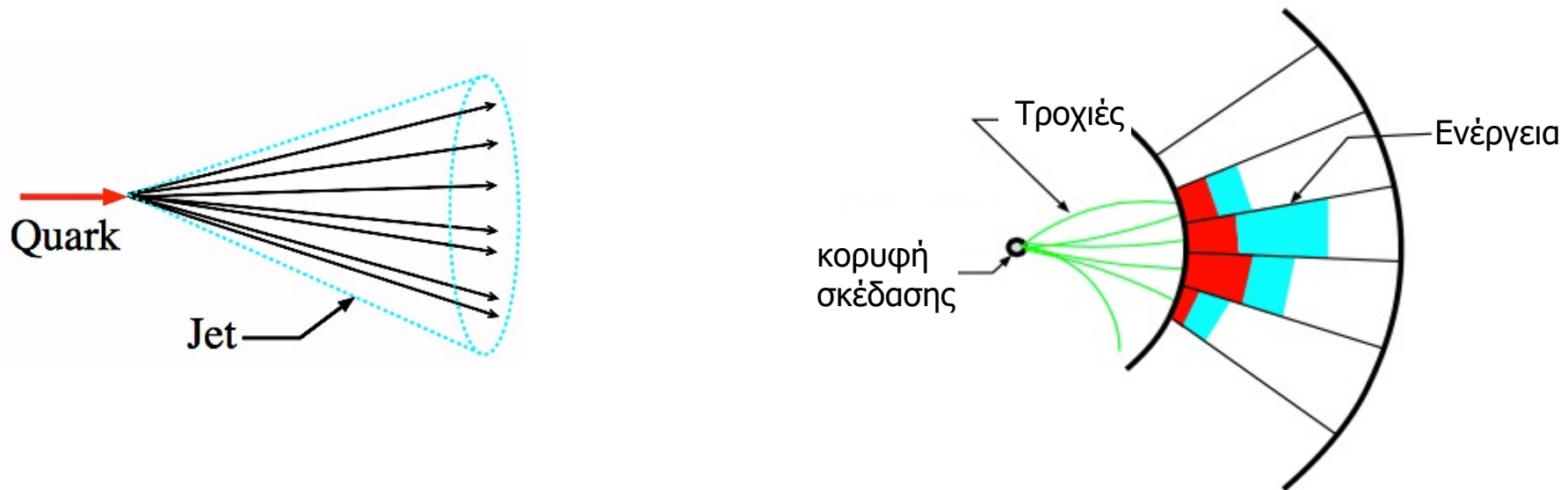
Αδρονική καταίγιδα



Ηλεκτρομαγνητική: ιονισμός, διέγερση, φωτοηλεκτρικό, σκέδαση (γ)

Αδρονική: ιονισμός (π^\pm, ρ)
μη μετρούμενη ενέργεια όπως ενέργεια δέσμιας κατάστασης, ανάδραση

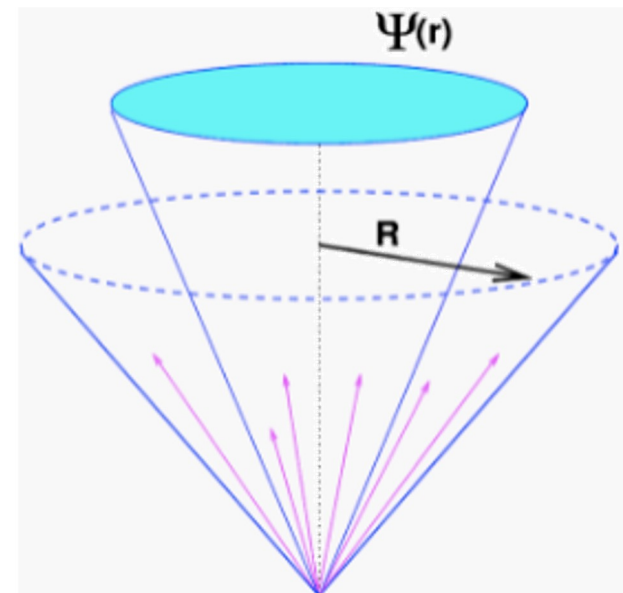
Σχηματισμός πιδάκων (jets) στο καλορίμετρο



Jet είναι ένας συγκεντρωμένος πίδακας σωματιδίων (αδρονίων) υψηλής ενέργειας

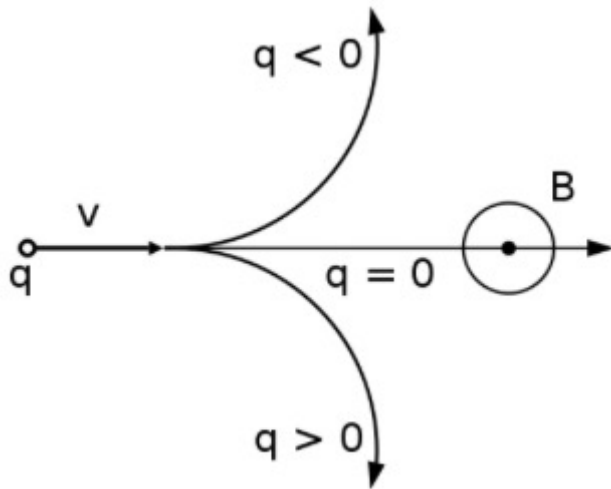
Τα quarks θρυμματίζονται σε πάρα πολλά σωματίδια και δημιουργούν τα jets, εναποθέτοντας ενέργεια τόσο στο ηλεκτρομαγνητικό όσο και στο αδρονικό καλορίμετρο

Το σχήμα των jets είναι πολύ πιο στενό σε υψηλές E_T



Ανιχνευτές τροχιών

Ο προσδιορισμός της ορμής των φορτισμένων σωματιδίων επιτυγχάνεται μέσω της μέτρησης της καμπύλωσης της τροχιάς ενός σωματιδίου καθώς κινείται σε μαγνητικό πεδίο



Σε σωματίδιο που κινείται με ταχύτητα u , μέσα σε μαγνητικό πεδίο έντασης B ασκείται η δύναμη Lorentz

$$\vec{F} = q\vec{u} \times \vec{B}$$

Θεωρώντας ότι το σωματίδιο κινείται κάθετα στο μαγνητικό πεδίο, η δύναμη αυτή παίζει το ρόλο της κεντρομόλου δύναμης εφόσον το σωματίδιο αναγκάζεται να κινηθεί σε κυκλική τροχιά

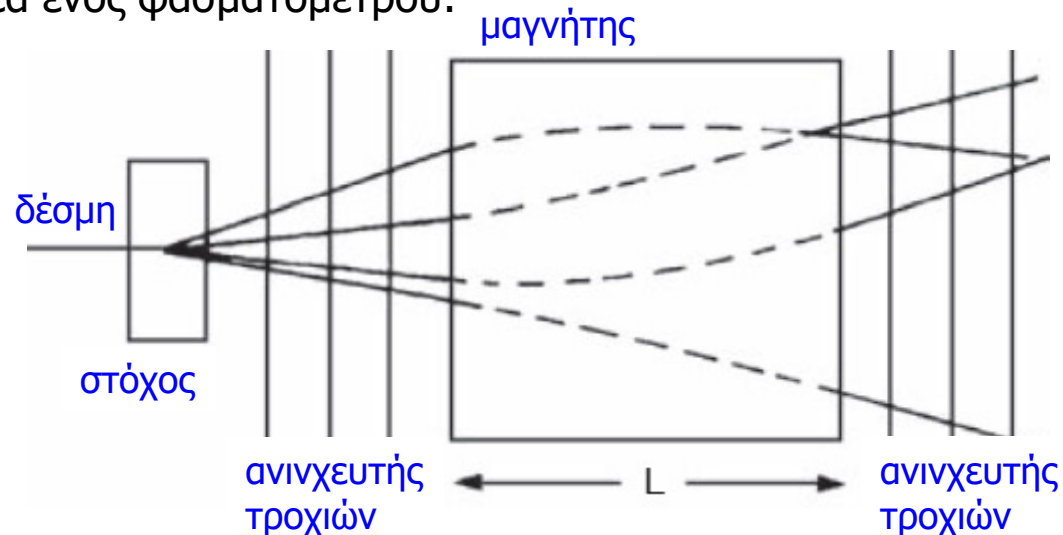
$$m \frac{u^2}{R} = quB$$

Η ιδέα ενός φασματομέτρου:

Πρακτικά:

Χρήση στρωμάτων ανιχνευτών με πολύ καλή διακριτική ικανότητα θέσης πριν και μετά ή μέσα σε μαγνητικό πεδίο για να προσδιοριστεί η τροχιά του σωματιδίου

Εύρεση της καμπύλωσης της τροχιάς



Ανιχνευτές τροχιών

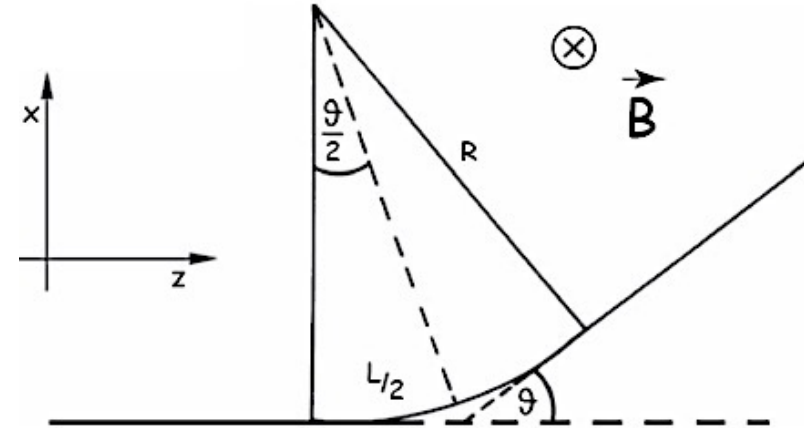
Ο προσδιορισμός της ορμής: (σε πειράματα ακίνητου στόχου)

$$m \frac{u^2}{R} = qvB \Rightarrow p = qRB \quad \text{ενώ} \quad \theta = \frac{L}{R} \Rightarrow \theta = \frac{L}{p} qB$$

Από τις παραπάνω σχέσεις έχουμε: $p = qB \frac{L}{\theta}$

Η διακριτική ικανότητα επομένως θα είναι:

$$\frac{\sigma p}{p} = \frac{\sigma_\theta}{\theta} \quad \text{ενώ} \quad \sigma_\theta \sim \sigma_x$$

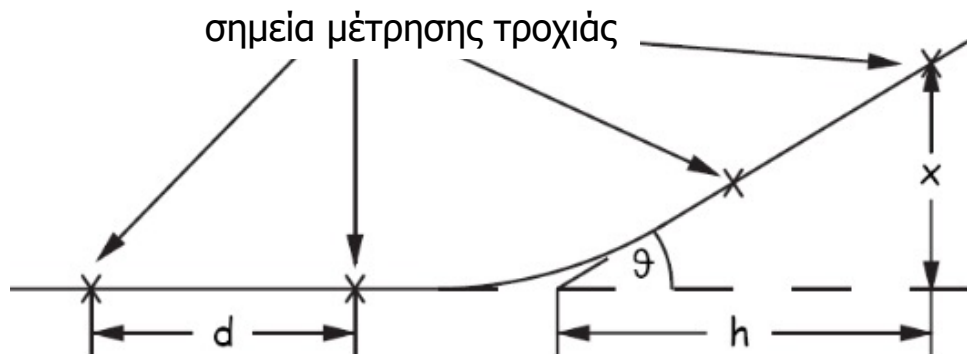


Προσδιορισμός της διακριτικής ικανότητας ορμής

$$\theta = \frac{x}{h} \Rightarrow \sigma_\theta = \frac{\sigma_x}{h}$$

$$\text{αλλά: } \frac{\sigma p}{p} = \frac{\sigma_\theta}{\theta} \Rightarrow \frac{\sigma p}{p} = \frac{\sigma_x}{h\theta}$$

$$\Rightarrow \frac{\sigma p}{p} = \frac{\sigma_x}{h} \frac{p}{qBL}$$



Μεγάλο υπομόχλιο βελτιώνει την διακριτική ικανότητα μέτρησης της ορμής

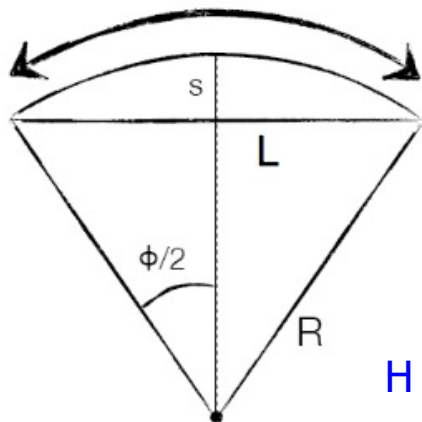
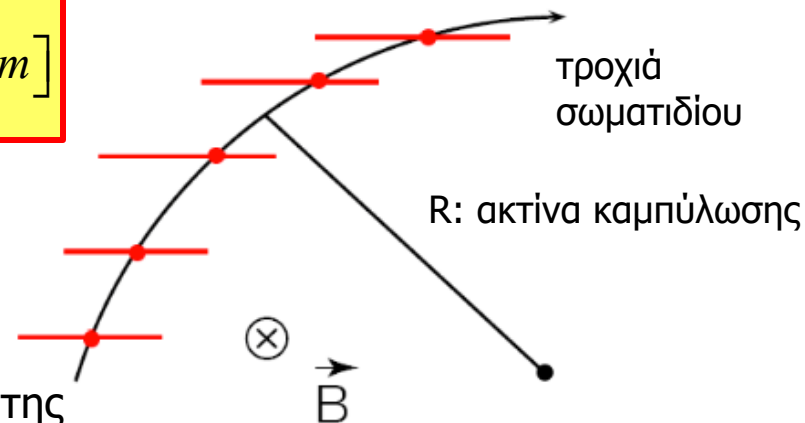
Ανιχνευτές τροχιών

Ο προσδιορισμός της ορμής: (σε κυλινδρικούς θαλάμους ολίσθησης)

$$m \frac{u^2}{R} = quB \Rightarrow p = qBR \Rightarrow p \left[\frac{\text{GeV}}{c} \right] = 0.3 B [T] R [m]$$

Η τροχιά του σωματιδίου μέσα στο μαγνητικό πεδίο έχει την μορφή της **έλικας** με την συνιστώσα της ορμής παράλληλη προς το μαγνητικό πεδίο να είναι αμετάβλητη

Η συνιστώσα της ορμής, p_T , κάθετη στην διεύθυνση της κίνησης και στο μαγνητικό πεδίο προκαλεί **κυκλική τροχιά** στο **εγκάρσιο επίπεδο**, η ακτίνα R της οποίας προσδιορίζεται πειραματικά από fit των σημείων μέτρησης της τροχιάς



Η sagitta της τροχιάς προσδιορίζεται από: $s = R - R \cos(\varphi/2)$

$$s = R(1 - \cos(\varphi/2)) = 2R \sin^2(\varphi/4) \Rightarrow s \approx 2R \frac{2(\varphi/4)^2}{2!} \Rightarrow s \approx R \frac{\varphi^2}{8}$$

$$\text{Αλλά: } \varphi = \frac{L}{R} \text{ οπότε: } s = \frac{L^2}{8R} \Rightarrow R = \frac{L^2}{8s}$$

Η διακριτική ικανότητα ορμής θα είναι: $\frac{\sigma_p}{p} = \frac{\sigma_R}{R} \Rightarrow \frac{\sigma_p}{p} = \frac{L^2}{8Rs} \frac{\sigma_s}{s}$

Μερικά αριθμητικά παραδείγματα

$$p \left[\frac{GeV}{c} \right] = 0.3 B [T] R [m] \quad \text{και} \quad s = \frac{L^2}{8R}$$

Αν υποθέσουμε ότι: $L = 4m$ $B = 1T$ και $p = 1TeV$

$$R = \frac{p}{0.3B} = \frac{1000}{0.3} \Rightarrow R = 3300m$$

Επομένως η sagitta θα είναι: $s \approx \frac{16}{8 \times 3300} \Rightarrow s \approx 0.6mm$

Αν θέλουμε να μετρήσουμε την ορμή με ακρίβεια 10% στο 1 TeV τότε:

$$\frac{\sigma_p}{p} \approx \frac{\sigma_s}{s} \approx 10\% \Rightarrow \sigma_s = 0.1s \Rightarrow \sigma_s \approx 60\mu m$$

Διακριτική ικανότητα ορμής

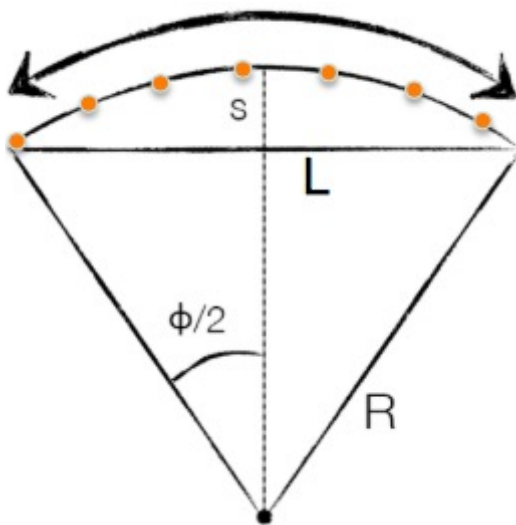
Η αβεβαιότητα στον προσδιορισμό της ορμής είναι: $(s = L^2/8R)$

$$\frac{\sigma_p}{p} = \frac{L^2}{8Rs} \frac{\sigma_s}{s} \Rightarrow \frac{\sigma_p}{p} = \frac{L^2}{8R} \frac{\sigma_s}{(L^2/64R^2)} \Rightarrow \frac{\sigma_p}{p} = \frac{\sigma_s}{L^2} 8R \Rightarrow \frac{\sigma_p}{p} = \frac{\sigma_s}{L^2} \frac{8p}{qB} \Rightarrow \frac{\sigma_p}{p} \approx p \frac{\sigma_s}{L^2 B}$$

Η αβεβαιότητα, σ_s , στον προσδιορισμό της sagitta εξαρτάται από τον αριθμό και απόσταση των σημείων μέτρησης της τροχιάς.

Για μεγάλο αριθμό σημείων και ίση απόσταση

$$\sigma_s = \frac{\sigma_{r\phi}}{8} \sqrt{\frac{720}{N+5}}$$



Καλή διακριτική ικανότητα:

- Μεγάλο μήκος διαδρομής
- Μεγάλο μαγνητικό πεδίο
- Καλή μέτρηση sagitta

Για ορμή p, (συνήθως μετράμε την p_T) χρησιμοποιώντας $p = p_T / \tan \theta$

$$\left(\frac{\sigma_p}{p} \right)^2 = \left(\frac{\sigma_{p_T}}{p_T} \right)^2 + \left(\frac{\sigma_\theta}{\sin \theta} \right)^2$$

Η πολλαπλή Coulomb σκέδαση είναι σταθερή σε p_T

Παραδείγματα:

Argus: $\sigma_{p_T} / p_T = 0.009^2 + (0.009 p_T)^2$

ATLAS: $\sigma_{p_T} / p_T = 0.001^2 + (0.0005 p_T)^2$

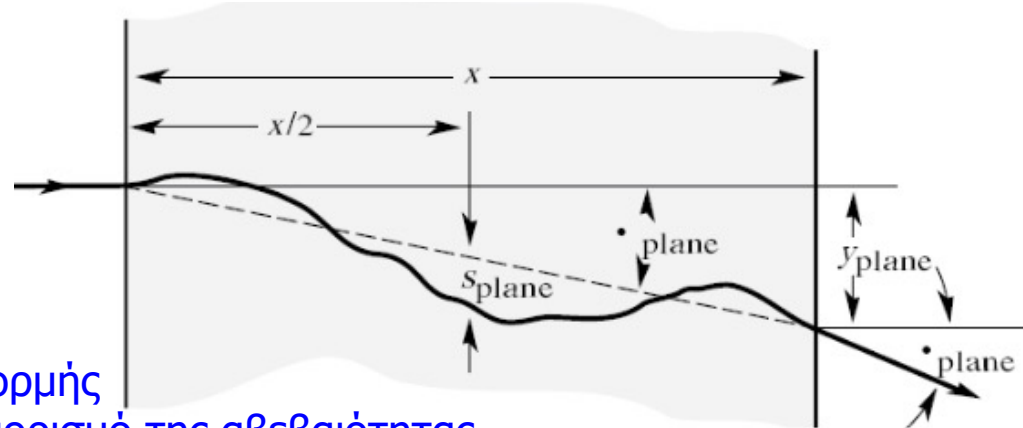
Διακριτική ικανότητα ορμής

Η συνεισφορά της πολλαπλής Coulomb σκέδασης στην αβεβαιότητα της ορμής είναι:

$$\sigma_{\varphi} \approx \frac{14 \text{ MeV}/c}{p} \sqrt{\frac{L}{X_0}}$$

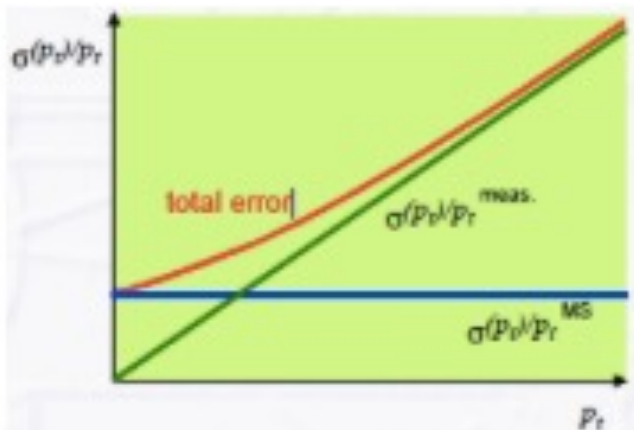
$$\frac{\sigma_p}{p} = \frac{\sigma_R}{R} = \frac{\sigma_{\varphi}}{\varphi} \quad \text{αφού: } R = \frac{L}{\varphi}$$

Για μικρές τιμές της ορμής
κυριαρχεί τον προσδιορισμό της αβεβαιότητας



$$\frac{\sigma_p}{p} = \frac{\sigma_{\varphi}}{\varphi} = \frac{14 \text{ MeV}/c}{p} \sqrt{\frac{L}{X_0}} \frac{R}{L} \Rightarrow \frac{\sigma_p}{p} = \frac{14 \text{ MeV}/c}{p} \sqrt{\frac{1}{LX_0}} \frac{p}{eB} \Rightarrow \frac{\sigma_p}{p} \sim \frac{1}{B\sqrt{LX_0}}$$

ανεξάρτηση
της ορμής



$$\left(\frac{\sigma_{p_T}}{p_T} \right)^2 = \text{const} \left(\frac{p_T}{BL^2} \right)^2 + \text{const} \left(\frac{1}{B\sqrt{LX_0}} \right)^2$$